

Research Article**Effect of *Echium amoenum* Extracts on the Development of Cardiovascular System of Zebrafish Embryos and Expression of *Nkx2-5*, *ApoE*, and *Tbx5* Genes Using the Real-Time PCR Method****Rozhin Solhjoei¹, Tahereh Naji^{1*}, Saeed Mohammadi Motamed², Nikoo Nasoohi¹**

1- Department of Basic Sciences, TeMS.C., Islamic Azad University, Tehran, Iran

2- Department of Pharmacognosy, TeMS.C., Islamic Azad University, Tehran, Iran

*Corresponding author: dr_naji@iau.ir

Received: 01 May 2025

Accepted: 11 August 2025

DOI: 10.60833/ascij.2025.1210947

Abstract

Cardiovascular disorders rank among the top leading causes of death on a global scale. Increasing interest has emerged in bioactive plant compounds for the potential support of cardiovascular-related health outcomes. This study assessed the cardiovascular development of zebrafish (*Danio rerio*) embryos and the expression of *Nkx2-5*, *ApoE*, and *Tbx5* genes with unrefined *Echium amoenum* extract. The extract was produced through maceration with 70% ethanol, and zebrafish embryos were treated with concentrations of 7.8 to 125 µg/mL concentration of the extract. Morphological indices of zebrafish embryos, application of cardiac histology, and expression of genes through Real-time PCR. The results demonstrated that at low to moderate concentration levels (7.8 to 62.5 µg/mL), the extract produced an upregulation of zebrafish embryos expression of target genes and more advanced cardiac development. In higher concentration (125 µg/mL), the embryos did not develop, displayed a body curvature, and signs of oxidative stress. Examination of histology showed that at subtoxic concentrations, the zebrafish heart tissue appeared histologically normal in its architecture and showed no signs of acute toxicity. Overall, this study supports that *Echium amoenum* extract and other natural products may act as a potential natural source of cardiovascular support by enhancing gene expression at an embryonic stage of cardiac development. Future studies need to be organized to assess the safety margins of *Echium amoenum* and verify its efficacy in adult models and clinical studies.

Keywords: *Nkx2-5*, *ApoE*, *Tbx5*, *Echium amoenum*, Zebrafish embryo, Cardiovascular system, Real-time PCR.



مقاله پژوهشی

اثر عصاره گل گاوزبان (*Echium amoenum*) بر تکامل سیستم قلبی عروقی جنین گورخرماهی و ژن‌های *Tbx5* و *ApoE* با استفاده از روش Real-Time PCR

رژین صلح‌جویی^۱، طاهره ناجی^{۱*}، سعید محمدی معتمد^۲، نیکو نصوحی^۱

۱- گروه علوم پایه، واحد علوم پزشکی تهران، دانشگاه آزاد اسلامی، تهران، ایران

۲- گروه فارماکوگنومی، واحد علوم پزشکی تهران، دانشگاه آزاد اسلامی، تهران، ایران

*مسئول مکاتبات: dr_najji@iau.ir

تاریخ پذیرش: ۱۴۰۴/۰۵/۲۰

تاریخ دریافت: ۱۴۰۴/۰۲/۱۱

DOI: 10.60833/ascij.2025.1210947

چکیده

اختلالات قلبی عروقی در میان علل اصلی مرگ و میر در سطح جهانی قرار دارند. علاقه مندی فرایندهای به ترکیبات گیاهی زیست فعل برای پشتیبانی بالقوه از پیامدهای سلامت مرتبط با قلب و عروق پدید آمده است. این مطالعه به بررسی رشد قلبی عروقی در جنین‌های گورخرماهی یا زبرافیش (*Danio rerio*) و بیان ژن‌های *Tbx5* و *ApoE* در پاسخ به عصاره تصفیه‌نشده‌ی گل گاوزبان پرداخته است. این عصاره از طریق خیساندن با اتانول ۷۰ درصد تهیه شد و جنین‌های گورخرماهی با غلظت‌هایی از ۷/۸ تا ۱۲۵ میکروگرم/میلی‌لیتر از عصاره تیمار شدند. شاخص‌های مورفولوژیکی جنین‌های گورخرماهی، بررسی بافت‌شناسی قلب و بیان ژن‌ها با استفاده از روش Real-time PCR مورد ارزیابی قرار گرفتند. نتایج نشان داد که در غلظت‌های پایین تا متوسط ۷/۸ تا ۶۲/۵ میکروگرم/میلی‌لیتر، عصاره باعث افزایش بیان ژن‌های هدف در جنین‌های گورخرماهی و رشد پیشرفته‌تر قلب شد. در غلظت‌های بالاتر (۱۲۵ میکروگرم/میلی‌لیتر)، جنین‌ها رشد نکردند، دچار انحراف بدنی شدند و نشانه‌هایی از استرس اکسیداتیو نشان دادند. بررسی‌های بافت‌شناسی نشان داد که در غلظت‌های زیر سمی، بافت قلب زبرافیش از نظر ساختار بافتی طبیعی به نظر می‌رسد و هیچ نشانه‌ای از سمیت حاد وجود ندارد. در مجموع، عصاره گل گاوزبان و سایر فرآورده‌های طبیعی ممکن است با افزایش بیان ژن در مراحل جنبینی رشد قلب، به عنوان یک منبع طبیعی بالقوه برای پشتیبانی قلبی عروقی عمل کند. مطالعات آینده باید برای ارزیابی حاشیه‌ایمنی گل گاوزبان و تأیید اثربخشی آن در مدل‌های بالغ و مطالعات بالینی برنامه‌ریزی شوند.

کلمات کلیدی: گل گاوزبان، جنین گورخرماهی، Real-time PCR, *Tbx5*, *ApoE*, *Nkx2-5*

مقدمه

بر اختلال عملکرد اندوتیال، پراکسیداسیون لیپیدها، التهاب و آتروواسکلروز (تشکیل پلاک‌های چربی در رگ‌ها) ایفا می‌شود (۱-۳). در تلاش برای یافتن مداخلات طبیعی و ایمن‌تر، تمرکز فرایندهای بر استفاده از ترکیبات زیست‌فعال گیاهی (مانند فلاونوئیدها و آنتوسیانین‌ها) که دارای خواص آنتی‌اکسیدانی و

بیماری‌های قلبی عروقی عامل نزدیک به ۳۰ درصد از مرگ و میرهای جهانی هستند و به این ترتیب، اصلی‌ترین علت مرگ در سراسر جهان محسوب می‌شوند. شواهد قابل توجهی وجود دارد که نشان می‌دهد استرس اکسیداتیو یکی از عوامل مهم در بروز بیماری‌های قلبی عروقی است. این نقش از طریق تأثیر

سیستم هدایت الکتریکی مؤثر است. $Nkx2-5$ با تنظیم Wnt هایی مانند $GATA4$, $TBX5$ و مسیرهای BMP و $Notch$ عمل می‌کند. همچنین، مطالعات اخیر نشان داده‌اند که این ژن در بازسازی قلب بالغ پس از آسیب نیز نقش دارد و اختلال در آن موجب کاهش ترمیم و تکثیر سلولی می‌شود^(۸). جهش‌های ژن $Nkx2-5$ به عنوان یکی از عوامل ژنتیکی مهم در ایجاد نقايسص مادرزادی قلبی (مانند نقص‌های دیواره‌ای، اختلالات هدایت الکتریکی و...) شناسایی شده‌اند و بدین ترتیب نقش تعیین‌کننده‌ای در رشد و بیماری‌های قلبی عروقی ایفا می‌کند. آپولیپوپروتئین (ApoE) E یک پروتئین مهم در انتقال لیپیدهایت که نقش تسهیل‌کننده‌ای در پاک‌سازی چربی‌ها ایفا می‌کند. این پروتئین با حذف لیپوپروتئین‌های غنی از تری‌گلیسرید و کلسترول از گردش خون، به حفظ هموستاز لیپید پلاسمای کمک می‌کند. از یک سو، ApoE به عنوان گیرنده‌ای مهم برای لیپوپروتئین‌ها در پاک‌سازی چربی‌ها عمل می‌کند و از سوی دیگر، در سلامت عروق نیز نقش دارد؛ این نقش از طریق تنظیم التهاب، خروج کلسترول (cholesterol efflux) و حفظ یکپارچگی اندوتیال از راه سیگنال‌دهی (T-box ۱۰-۱۳). یک فاکتور رونویسی مهم از خانواده T-box است که برای مورفوژنر قلب، تشکیل حفره‌های قلبی، سپتاسیون (جدا شدن حفره‌ها) و تشکیل سیستم هدایتی قلب ضروری است. $Tbx5$ در مراحل اولیه رشد در نواحی قلب‌ساز اولیه که دهلیزها و بطن‌ها را تشکیل می‌دهند، بیان می‌شود. از بین رفتن ژن $Tbx5a$ منجر به نقايسص شدید در خم شدن قلب و ساختار حفره‌ای آن می‌شود (فنتویپ معروف به Heartstring). در پستانداران نیز سلول‌های پیش‌ساز بیان‌کننده $Tbx5$ در ساخت میوکارد و بافت هدایتی الکتریکی قلب نقش

ضدالتهابی هستند، وجود دارد. یکی از گیاهان خاص در این زمینه، گل گاوزبان (*Echium amoenum*) است که سابقه‌ای طولانی در طب سنتی ایرانی دارد و به عنوان گیاهی محافظت عروق و تقویت کننده قلب شناخته می‌شود. گلبرگ‌های این گیاه عمدهاً حاوی آنتوسیانین‌ها (نبلیر سیانیدین و دلفینیدین) و اسید رزماری هستند (۴-۶). داده‌های برونتنی (*in vitro*) شواهدی از اثرات سیتوپروتکتیو (محافظت از سلول‌ها) گل گاوزبان ارائه می‌دهند: صفائیان و همکاران (۲۰۱۵) (۵) گزارش کردند که عصاره‌های غنی از آنتوسیانین گل گاوزبان موجب افزایش زندمانی سلول‌های اندوتیال ورید نافی انسان (HUVECs) تحت استرس H_2O_2 شدند، سطح هیدروپراکسید را کاهش دادند و ظرفیت آنتی اکسیدانی (FRAP) را افزایش دادند؛ همه این موارد بدون بروز سمیت سلولی تا غلظت ۱۰۰۰ میکروگرم/میلی‌لیتر مشاهده شد. این داده‌ها نشان‌دهنده توان قابل توجه عصاره در محافظت از سلول‌های اندوتیال در شرایط استرس اکسیداتیو هستند. مکانیسم‌های مولکولی به‌ویژه در ارتباط با رشد قلب، هنوز به طور کافی بررسی نشده‌اند. مدل جنینی گورخر ماهی یا زبرافیش (*Danio rerio*) یک سیستم تحقیقاتی قدرتمند محسوب می‌شود، زیرا دارای روند رشد شفاف، اندام‌زایی سریع و شباهت ژنتیکی بالایی با انسان (۷۰-۷۰ درصد) است. در فاصله‌ی ۴۸ تا ۷۲ ساعت پس از لقاح، قلب این موجود شکل می‌گیرد و این امکان فراهم می‌شود تا رشد قلبی، سمیت‌زاوی قلبی یا محافظت قلبی را به صورت پویا در این گونه بررسی کنیم (۳-۵). عوامل رونویسی اصلی قلب که در این بازه زمانی فعال هستند عبارت‌اند از: $Nkx2-5$ یک فاکتور رونویسی مهم و محافظت شده است که در مراحل اولیه رشد قلب نقش اساسی دارد. این ژن به عنوان اولین نشانگر سلول‌های پیش‌ساز قلب شناخته می‌شود و در تمایز کاردیومیوسمیت‌ها، ساختار قلبی و

مستر میکس PCR (پارس طوس) استفاده شد. الکتروفورز ژل با استفاده از پودر آگارز و بافر TBE (سینوه) انجام شده و رنگ‌آمیزی با DNA Green (پارس طوس) صورت گرفت. در رنگ‌آمیزی Viewer (پارس طوس) بافت شناسی نیز از پارافرمالدئید ۴ درصد، پارافین (سینوه) و رنگ‌های هماتوکسیلین و ائوزین (سیناکلون) استفاده شد.

تهیه عصاره گیاه گل گاوزبان (*Echium amoenum*): *Echium amoenum* (Fisch. & C.A. Mey) در فصل رشد بهار ۲۰۲۴ از منطقه البرز ایران جمع‌آوری شدند. این گیاه از نظر طبقه بندي، از گروه گیاه شناسی، شناسایي شد و يك نمونه آزمایشي در هرباريوم دانشکده علوم دارويي، دانشگاه آزاد اسلامي، واحد پژوهشی تهران، با شماره آزمایيشی PMP/A-347 نگهداري شد. گلبرگ‌ها در دمای اتاق در سایه خشک، آسياب و به پودر تبديل شدند و ۱۰ گرم پودر با استفاده از استخراج‌كننده سوکسله با ۱۰۰ ميلی‌لتر اتانول ۷۰ درصد به مدت ۶ ساعت استخراج شد. عصاره با استفاده از دستگاه تبخیر چرخشی در دمای ۴۵ درجه سانتي‌گراد و فشار کاهش یافته فیلتر و تغليظ شد. عصاره خام تا زمان استفاده در دمای ۴ درجه سانتي‌گراد نگهداري شد. تمام غلظت‌های کاري ۱۵/۶۲ تا ۲۵۰ ميكروگرم/مili لiter) درست قبل از قرار گرفتن در معرض عصاره، به صورت تازه در محیط کشت جنبيني E3 تهیه شدند.

نگهداري و جمع‌آوری جنبين گورخرماهي: گورخر ماهي‌های بالغ در سیستم پرورش آبزيان با گرددش مجدد در دمای ۲۸،۵ درجه سانتي‌گراد و با چرخه نوري ۱۴ ساعت روشنائي و ۱۰ ساعت تاریکي نگهداري شدند. جنبين‌ها از طریق جفت‌گیری طبیعی به دست آمدند و بر اساس معیارهای استاندارد رشد، طبق Westerfield توصیف Kimmel و همکاران (۱۹) و (۲۰) مرحله‌بندی شدند. جنبين‌هایی که در مرحله ۲ تا ۴

دارند، بنابراین *Tbx5* برای توسعه ساختاري و عملکرد الکتروکي قلب حیاتي است. اختلال در عملکرد *Tbx5* منجر به نقايص مادرزادی قلبی مانند نقايص دیوارهای (سپتوم) و اختلالات در سیستم هدایتی می‌شود (۱۴-۱۶). اختلال در عملکرد هر یک از این ژن‌ها می‌تواند منجر به نقايص مادرزادی قلبی یا افزایش ريسک بيماري‌های قلبی‌عروقی شود (۱۷، ۱۸). هدف اين تحقيق، بررسی تأثيرات وابسته به دوز عصاره گل گاوزبان (*Echium amoenum*) بر رشد قلب در جنين گورخرماهي است. اين ارزیابي از طریق بررسی بيان ژن‌های *Nkx2-5* و *ApoE* با استفاده از روش qRT-PCR ۵۰ درصد (LD₅₀)، پاسخ به استرس اكسيداتيو و بررسی مسیرهای سیگنال دهی مهم قلبی از جمله *Wnt* و *BMP* و *Notch* نیز در اين مطالعه مد نظر قرار دارد.

مواد و روش‌ها

مواد مورد استفاده در اين مطالعه شامل گیاهان گل گاوزبان (*Echium amoenum*) و گل میخک (*Eugenia caryophyllata*) از عطاری‌های محلی و گورخرماهي‌های بالغ (*Danio rerio*) از مرکز پرورش ماهیان زیستی بود. جنبين‌های زبرا در محیط E3 (پارس طوس) نگهداري و با غذای خشک فلووال و آرتميما تغذيه شدند. مواد شيميانی مورد استفاده شامل اتانول ۷۰، ۹۵ و ۱۰۰ درصد، ايزوپروپانول، دي‌متيل سولفوكسайд (DMSO)، كلروفرم و زايلن (مرک) بودند. در آزمایش‌های مولکولي از محلول TRIzol (کالازیست)، آب بدون آنزیم (DEPC) آب RNaseLater دیونیزه و مقطر (سینوه)، و محلول Thermo (سیناکلون) استفاده شد. سنتز cDNA با کيت Scientific و پرایمر رندوم هگزامر (سیناکلون) انجام شد. برای qRT-PCR از پرایمرهای اختصاصي ژن‌های (سینوه) از RT-PCR با پرایمر (سیناکلون) و *GAPDH* و *ApoE*، *Tbx5* و *Nkx2-5* (سیناکلون) و

سه‌تایی اجرا شدند. بیان نسبی ژن نسبت به β -actin نرمال سازی و طبق روش $\Delta\Delta Ct - 82$ محاسبه شد. تحلیل آماری: هر آزمایش در سه تکرار انجام شد. داده‌ها به صورت میانگین \pm انحراف معیار (SD) بیان شدند. از آنالیز واریانس یک‌طرفه با آزمون تعقیبی توکی برای تعیین معنی‌داری آماری بین گروه‌ها استفاده شد ($p < 0.05$). تمام تجزیه و تحلیل‌های آماری با استفاده از GraphPad Prism 9.0 انجام شد.

نتایج

برای ارزیابی کمیت و خلوص RNA استخراج شده، نسبت جذب ۲۶۰ به ۲۸۰ اندازه‌گیری شد. این نسبت نشان‌دهنده خلوص اسید نوکلئیک است و مقدار مناسب برای RNA بین ۱/۸ تا ۲ در نظر گرفته می‌شود (جدول ۱). عصاره گل گاوزبان در دوزهای پایین تا متوسط هیچ اثر مضری بر مورفولوژی جنین گورخرماهی نشان نداد؛ اما غلظت‌های بالاتر (۶۲/۵ و ۱۲۵ میکروگرم/میلی‌لیتر) باعث تغییراتی مانند انحنای بدن و توقف رشد شدند. این اثرات وابسته به دوز و زمان بودند (شکل ۱). افزایش وابسته به دوز و زمان در مرگ و میر جنین گورخرماهی با عصاره گل گاوزبان مشاهده شد (شکل ۲). مرگ و میر در ۷۲ ساعت با غلظت ۱۲۵ میکروگرم/میلی‌لیتر بیش از ۵۰ درصد بود. بر اساس مدل LD_{50} ، ۷۲ ساعته ۱۰۱ میکروگرم/میلی‌لیتر تخمین زده شد. طبق شکل ۳A بافت قلب گروه کنترل بدون تغییر و بدون هیچ آسیب و التهابی همراه بود، بنابراین نمره آسیب هیستوپاتولوژیک صفر بود. مطابق شکل ۳B مقطع قلب جنین در گروه کنترل ساختار سالم و منظم با کاردیومیوسمیت‌های طبیعی بدون نشانه‌ای از آسیب یا التهاب را نشان داد و با امتیاز صفر آسیب بافتی مطابقت داشت. مطابق شکل ۳C در مقطع گروه LD_{50} ، ساختار قلب چهار اختلالاتی مانند کاهش نظم سلولی، افزایش فضای بین‌سلولی و

سلولی قرار داشتند و سالم تشخیص داده شدند، برای تیمار انتخاب شدند. تمامی مراحل آزمایش مطابق با تأییدیه کمیته اخلاق دانشگاه آزاد اسلامی، واحد علوم پزشکی تهران انجام گرفت (کد اخلاق: IR.IAU.PS.REC.1402.584).

الگوی تیمار و انتخاب دوزها: جنین‌ها با عصاره *E. amoenum* در غلظت‌های ۱۵/۶۲، ۳۱/۲۵، ۶۲/۵ و ۲۵۰ میکروگرم/میلی‌لیتر در محیط کشت *E3* که در پلیت‌های ۲۴ خانه‌ای (۱۰ جنین در هر خانه، ۳ تکرار در هر دوز) چیده شده بود، تیمار شدند و جنین‌ها در گروه کنترل فقط محیط کشت *E3* را دریافت کردند. جنین‌ها به مدت ۹۶ ساعت پس از کشت در دمای ۲۸/۵ درجه سانتی‌گراد انکوبه شدند و روزانه از نظر مرگ و میر، ناهنجاری و ضربان قلب ارزیابی شدند. محاسبه دوز کشنده ۵۰ درصد (LD_{50}): بقای جنین هر ساعت پس از مواجهه ارزیابی شد. LD_{50} با استفاده از آنالیز پروبیت بر اساس مقادیر مرگ و میر ۹۶ در غلظت‌های مختلف تعیین شد.

استخراج RNA و سنتز cDNA: در ۷۲ hpf کل RNA از ۲۵ جنین جمع‌آوری شده در هر گروه درمانی با استفاده از معرف (TRIzol® (Invitrogen) طبق دستورالعمل سازنده استخراج شد. صحت RNA با الکتروفورز ژل آگارز یک درصد تأیید شد و غلظت آن با استفاده از اسپکتروفوتومتر NanoDrop تعیین شد. سنتز cDNA روی ۱ میکروگرم RNA با استفاده از کیت RevertAid (Thermo Fisher) رشته اول cDNA سنتز در ۷۲ hpf انجام شد.

واکنش زنجیره‌ای پلیمراز کمی در زمان واقعی (qRT-PCR): بیان ژن‌های *Nkx2-5* و *Tbx5* با استفاده از qRT-PCR مبتنی بر SYBR Green ارزیابی Primer-BLAST (NCBI) شد. پرایمرهای با استفاده از طراحی و از یک ارائه دهنده تجاری سفارش داده شدند. واکنش‌ها در سیستم Bio-Rad CFX96 به صورت

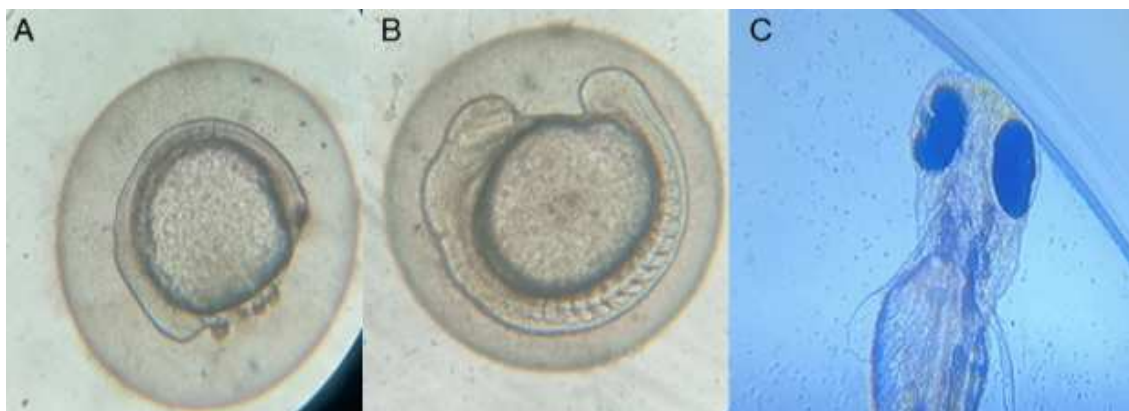
غیرطبیعی، صحت واکنش و اختصاصی بودن پرایمرها را تأیید می‌کند. شکل ۷ نمودار مشتق تغییرات فلورسانس بر اساس دما را نشان می‌دهد که برای تأیید اختصاصی بودن تکثیر ژن‌ها استفاده شده است. وجود یک قله مشخص در دمای ثابت نشان‌دهنده تولید محصول اختصاصی و عدم وجود پرایمر-دایمر یا محصولات غیراختصاصی است. شباهت قله‌ها در نمونه‌ها بیانگر دقیق و تکرارپذیری بالای واکنش PCR می‌باشد. شکل ۸ بیان ژن *ApoE* را در گروه‌های تیماری مختلف نشان می‌دهد. در غلظت زیر LD_{50} ، افزایش معناداری در بیان ژن نسبت به کنترل مشاهده شد ($p < 0.0001$)، اما در گروه LD_{50} کاهش نسبی دیده شد که از نظر آماری معنادار نبود. این نتایج نشان می‌دهد غلظت‌های پایین عصاره موجب افزایش بیان اثر مهارکننده داشته باشند. شکل ۹ نشان می‌دهد که بیان ژن *Tbx5* در گروه زیر LD_{50} به طور معناداری افزایش یافته است ($p < 0.001$). در حالی که در گروه LD_{50} کاهش چشمگیری داشته و پایین‌تر از هر دو گروه دیگر بوده است ($p < 0.001$). این یافته‌ها بیانگر حساسیت بالای *Tbx5* به دوز عصاره هستند؛ به طوری که دوز پایین بیان را افزایش و دوز بالا آن را به طور قابل توجهی کاهش داده است. بر اساس شکل ۱۰، بیان ژن *Nkx2-5* در گروه زیر LD_{50} به طور معناداری افزایش یافته است ($p < 0.01$)، در حالی که در گروه LD_{50} کاهش قابل توجهی نشان داده است ($p < 0.001$). این نتایج نشان می‌دهد که دوز پایین عصاره بیان این ژن را تحریک و دوز بالا آن را سرکوب می‌کند، که بیانگر حساسیت ژن *Nkx2-5* به دوز و استرس محیطی است و احتمالاً در مسیرهای تکوینی قلب نقش دارد.

دژنراسیون کاردیومیوسیت‌ها شده است. این تغییرات با امتیازهای آسیب بافتی (دژنراسیون ۳، نکروز ۲، التهاب ۲) مطابقت دارد و نشان دهنده اثرات سمی عصاره در دوز بالا است. مطابق شکل D، در مقاطع قلب گروه LD_{50} ، نکروز، دژنراسیون و نواحی التهابی به‌وضوح مشاهده می‌شود. تخریب کامل کاردیومیوسیت‌ها، از دست رفتن آرایش سلولی و تجمع سلول‌های التهابی نشان دهنده آسیب شدید بافتی است که با امتیازهای ثبت شده (دژنراسیون: ۳، نکروز: ۲، التهاب: ۲) مطابقت دارد. مطابق شکل E، در گروه زیر LD_{50} بافت قلبی دچار دژنراسیون خفیف تا متوسط شده، اما ساختار کلی حفظ شده و نشانه‌ای از نکروز یا التهاب دیده نمی‌شود. این بیانگر آسیب خفیف عصاره در دوزهای زیر LD_{50} است. مطابق شکل F، در گروه زیر LD_{50} ، دژنراسیون خفیف تا متوسط در میوکاردها مشاهده شد، اما بدون نشانه‌ای از نکروز یا التهاب. این تغییرات نشان دهنده اثرات خفیف و غیرکشنده عصاره هستند، در حالی که ساختار کلی قلب تا حد زیادی حفظ شده است. آنالیز BLAST نشان داد پرایمرهای طراحی شده اختصاصی هستند و فقط با ژن‌های هدف در ژنوم گورخرماهی هم‌ترازی دارند، بنابراین برای Real-time PCR مناسب و قابل اعتماد هستند (شکل ۴). کیفیت RNA با ژل آگارز ۱/۲ درصد و کمیت آن با نانودرایپ بررسی شد. وجود باندهای ۱۸ S و ۲۸ S ریبوزومی نشان‌دهنده سلامت و عدم تجزیه RNA بود (شکل ۵). بیان ژن‌های *LD_{50}* و *Tbx5* در غلظت‌های ۵/۶۲ و ۵/۲۶ درستگاه عصاره بررسی شد. نتایج با منحنی تکثیر در دستگاه Real-time PCR ثبت و در شکل ۶ نمایش داده شد. افزایش فلورسانس در طول چرخه‌های PCR را نشان می‌دهد که مقدار Ct هر ژن را مشخص می‌کند. یکنواختی منحنی‌ها در تکرارها و نبود سیگنال

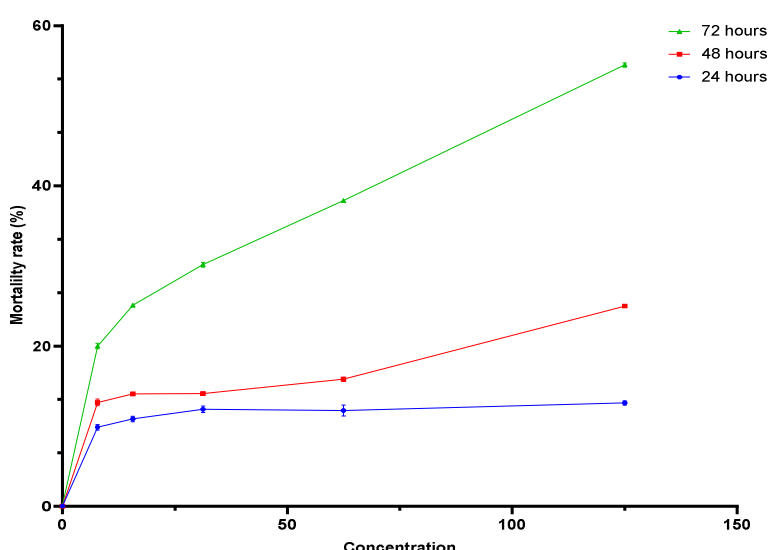
جدول ۱- بررسی کمیت RNA استخراج شده با استفاده از نانودرایپ

Table 1. Quantification of extracted RNA using Nanodrop

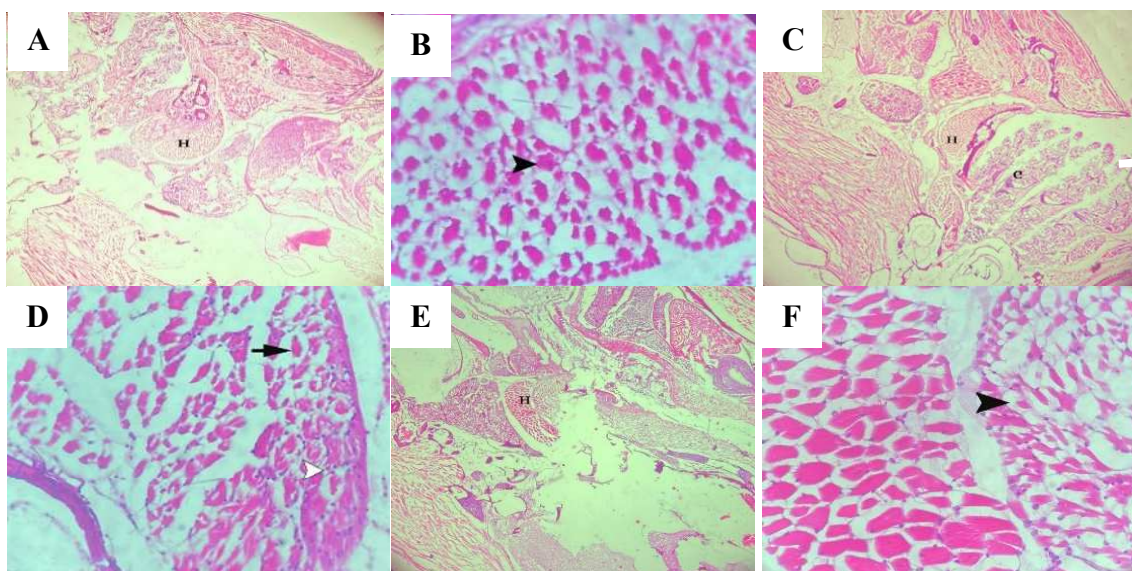
Sample	Concentration(µg/µl)	OD (260/280)
E	142.253	2.773
F	223.293	2.607
G	148.093	2.219
H	134.813	2.466



شکل ۱- ویژگی‌های مورفولوژیکی جنین گورخرماهی پس از درمعرض قرار گرفتن با عصاره *Echium amoenum*.
Fig 1. Morphological characteristics of zebrafish embryos after exposure to *Echium amoenum* extract.



شکل ۲- میزان مرگ و میر در جنین گورخرماهی پس از تیمار در غلظت‌های مختلف با عصاره *Echium amoenum*.
Fig 2. Mortality rate in zebrafish embryos after treatment with different concentrations of *Echium amoenum* extract



شکل -۳. A. مقطع قلب گورخرماهی در گروه کنترل، B. مقطع قلب در گروه کنترل که میوکارد های نرمال دیده می شود، C. مقطع قلب گورخرماهی در گروه LD50 که مقاطع آیشش و قلب دیده می شود، D. مقطع قلب در گروه LD50. E. مقطع گورخرماهی در گروه کمتر از LD50 مقطع قلب در گروه کمتر از LD50 F. LD50

Fig 3. A. Cross-section of zebrafish heart in the control group B. Cross-section of the heart in the control group showing normal myocardium. C. Cross-section of zebrafish heart in the LD50 group showing gills and heart. D. Cross-section of the heart in the LD50 group. E. Cross-section of zebrafish in the less than LD50 group. F. Cross-section of the heart in the less than LD50 group.

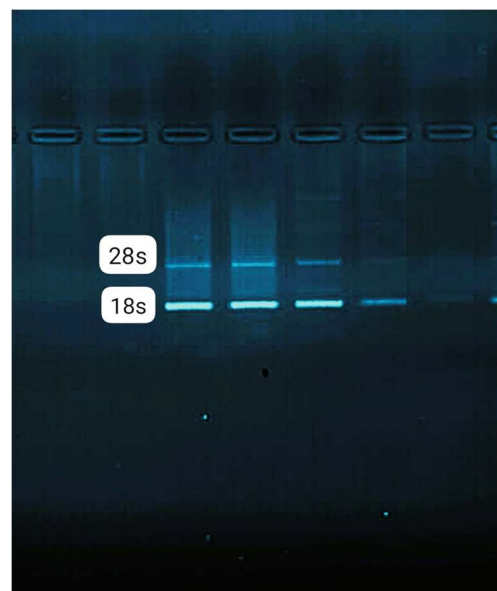
Primer pair 1						
	Sequence (5'->3')	Length	Tm	GC%	Self complementarity	Self 3' complementarity
Forward primer	ATGCCATCCGGATCTCTCT	20	60.18	55.00	8.00	0.00
Reverse primer	CCAGGGTAGGTGTTGAGG	20	60.11	60.00	2.00	0.00
Products on target templates						
>NM_131421.2 Danio rerio Nkx2 homeobox 3 [nka2.5], mRNA						
product length = 582						
Forward primer 1	ATGCCATCCGGATCTCTCT	20				
Template	276 295					
Reverse primer 1	CCAGGGTAGGTGTTGAGG	20				
Template	857 838					

Primer pair 1						
	Sequence (5'->3')	Length	Tm	GC%	Self complementarity	Self 3' complementarity
Forward primer	CAAATGTTCTGTGACGGGA	20	59.96	55.00	3.00	0.00
Reverse primer	TGTGTGTTCGTGGTAGGAGC	20	59.97	55.00	2.00	2.00
Products on target templates						
>XM_021475895.1 PREDICTED: Danio rerio Tbx5a [tbx5a], transcript variant X1, mRNA						
product length = 592						
Forward primer 1	CAAATGTTCTGTGACGGGA	20				
Template	467 486					
Reverse primer 1	TGTGTGTTCGTGGTAGGAGC	20				
Template	1058 1039					

Primer pair 1						
	Sequence (5'->3')	Length	Tm	GC%	Self complementarity	Self 3' complementarity
Forward primer	TCCTGTACACACAGCAGGG	20	59.97	55.00	8.00	0.00
Reverse primer	TGGAAGGGGGTTTGTCCT	20	60.11	50.00	3.00	0.00
Products on target templates						
>XM_056476229.1 PREDICTED: Danio aesculapii apolipoprotein C-I [apoc1], transcript variant X1, mRNA						
product length = 120						
Forward primer 1	TCCTGTACACACAGCAGGG	20				
Template	149 168					
Reverse primer 1	TGGAAGGGGGTTTGTCCT	20				
Template	268 249					

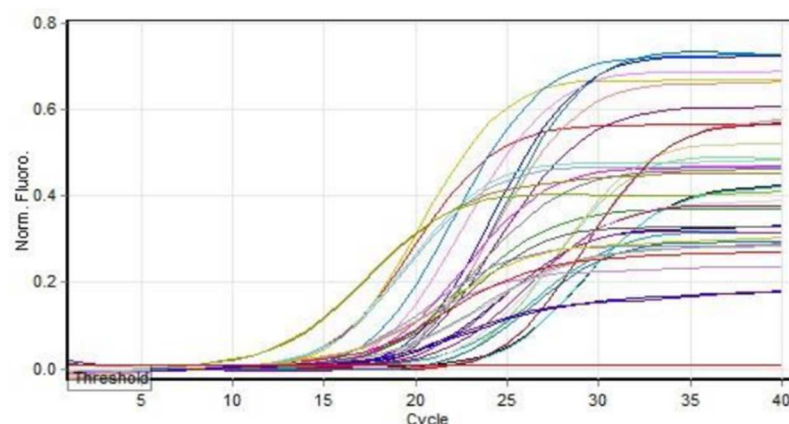
شکل -۴. پرایمر های طراحی شده: Blast - C: ApoE و B: Tbx5 A: Nkx2-5

Fig 4. Blast primers designed: A: Nkx2-5, B: Tbx5 and C: ApoE



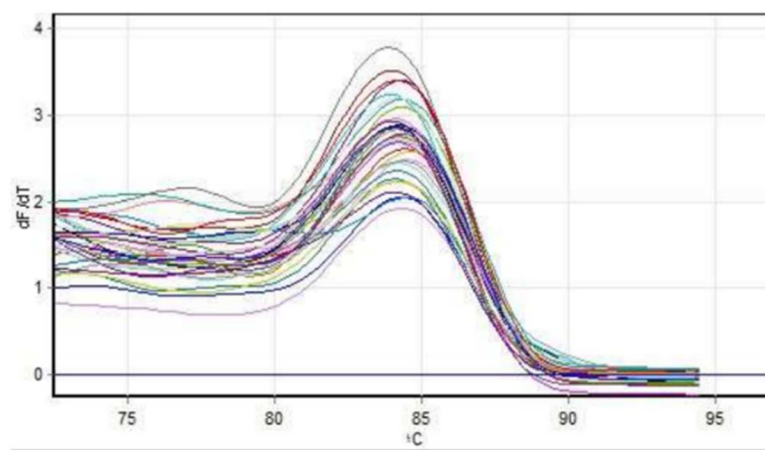
شکل ۵- باندهای حاصل از استخراج RNA بر روی ژل الکتروفورز

Fig 5. Bands from RNA extraction on gel electrophoresis



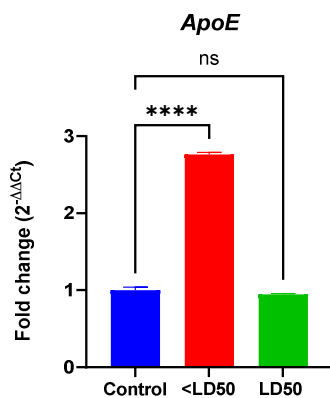
شکل ۶- منحنی تکثیر ژن‌های *Tbx5*, *Nkx2-5*, *ApoE*

Fig 6. Proliferation curve of *Nkx2-5*, *ApoE* and *Tbx5* genes



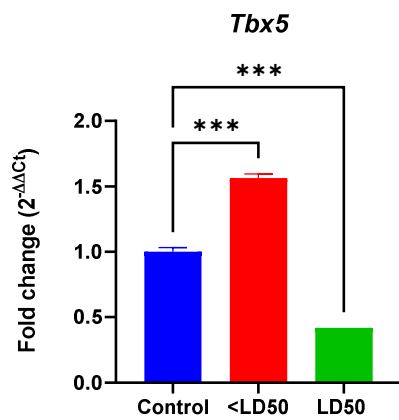
شکل ۷- منحنی ذوب ژن‌های *Tbx5*, *ApoE* و *Nkx2-5* پس از انجام واکنش qPCR

Fig 7. Melting curve of *Nkx2-5*, *ApoE* and *Tbx5* genes after qPCR reaction



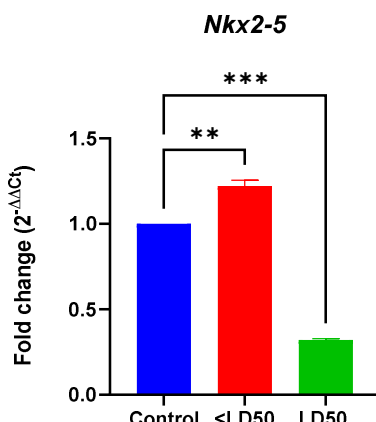
شکل ۸- تغییرات بیان ژن *ApoE* تحت تأثیر تیمار با غلظت‌های مختلف، ۶۲/۵ و ۱۰۱ میکروگرم/میلی‌لیتر

Fig 8. Changes in *ApoE* gene expression under the influence of treatment with different concentrations, 62.5 and 101 micrograms/ml



شکل ۹- تغییرات بیان ژن *Tbx5* تحت تأثیر تیمار با غلظت‌های مختلف، ۶۲/۵ و ۱۰۱ میکروگرم/میلی‌لیتر

Fig 9. Changes in *Tbx5* gene expression under the influence of treatment with different concentrations, 62.5 and 101 micrograms/ml



شکل ۱۰. تغییرات بیان ژن *Nkx2-5* تحت تأثیر تیمار با غلظت‌های مختلف، ۶۲/۵ و ۱۰۱ میکروگرم/میلی‌لیتر

Fig 10. Changes in *Nkx2-5* gene expression under the influence of treatment with different concentrations, 62.5 and 101 µg/ml

بحث

نشان نداد. تنها تغییر جزئی در این غلظت، واکوئله شدن برخی سلول‌ها بود که می‌تواند نشانگر آغاز استرس سلولی در دوزهای بالا باشد. روی هم رفته، عدم مرگ بافت قلبی در دو دوز متوسط نشان می‌دهد که عصاره *E. amoenum* می‌تواند اثرات مطلوب خود را تا حدی بدون ایجاد سمیت ساختاری اعمال کند. با این وجود، در دوزهای بالاتر باید احتیاط شود. گزارش شده است که مقادیر زیاد این گیاه باعث عوارض جانبی (مانند سمیت خونی و آسیب گلبلوهای قرمز) می‌شود (۲۵). پیکروزید (ترکیبات فنلی) و عملکرد آنتی‌اکسیدانی معمولاً به سطوح بالای آنتوسیانین‌های این گیاه (یعنی سیانیدین و دلفینیدین) نسبت داده می‌شود (۵). اکسیداسیون بیش از حد، رشد قلب را مختل کرده و باعث آسیب بافتی می‌شود. بنابراین، در دسترس بودن ترکیبات آنتی‌اکسیدانی در محیط جنینی احتمالاً از، از دست دادن بیان ژن‌های حیاتی جلوگیری کرده و پارامترهای مناسب‌تری را برای فعالیت مسیرهای سیگنانینگ رشد ایجاد می‌کند. پیش تیمار سلول‌های اندوتیال با عصاره غنی از آنتوسیانین *E. amoenum* به طور قابل توجهی پراکسیدهای داخل سلولی و خارج سلولی را کاهش می‌دهد، درحالی‌که ظرفیت میکروگرم/میلی‌لیتر (FRAP) را بیشتر می‌بخشد (۵). مواد آنتی‌اکسیدانی (*iNOS* و *COX-2*) همچنین سیتوکین‌های پیش التهابی مانند *TNF-α*, *IL-1β* و *IL-6* را در ماکروفازهای تحریک شده مهار می‌کند (۲۶). مهار التهاب در محیط جنینی می‌تواند آسیب التهابی به بافت‌های در حال رشد را کاهش داده و روند طبیعی رشد قلب را حفظ کند. بنابراین، افزایش بیان ژن‌های *Nkx2-5* و *Tbx5* توسط عصاره ممکن است از طریق کاهش سیگنان‌های مهاری

نتایج این مطالعه نشان داد که غلظت‌های پایین‌تر این عصاره به طور معنی داری بیان ژن‌های کلیدی *Nkx2-5* و *ApoE* را افزایش می‌دهد (۲۱). *Tbx5* از مهم‌ترین فاکتورهای رونویسی در تکوین قلب هستند؛ افزایش بیان آن‌ها احتمالاً بیانگر تحریک روند تمایز کاردیومیوست‌ها و پیشبرد شکل‌گیری ساختارهای قلبی است (۲۲). به علاوه، *ApoE* نیز که در متabolism لیپید و انتقال چربی‌ها نقش دارد، در حضور عصاره افزایش بیان نشان داد. افزایش *ApoE* می‌تواند حاکی از بهبود توان انتقال لیپید از زرده به روبان و تنظیم بهتر متابولیسم چربی طی رشد باشد (۲۳). تأمین مناسب لیپید و کلسترول برای رشد قلبی عروقی مهم است و شاید در برخی موارد از تغییرات نامطلوب جلوگیری کند. بر عکس، قبل از نشان داده شده است که بیان پایین *Nkx2-5* با ناهنجاری‌های قلبی عروقی همراه است (۲۴)؛ بنابراین، مشاهده افزایش بیان این ژن‌ها در حضور عصاره *E. amoenum*، نشان‌دهنده تأثیر حمایتی و تقویت کننده بر رشد طبیعی قلب است. در مقابل، اثر عصاره به غلظت عصاره بستگی داشت و در غلظت‌های بالا (بیشتر از ۶۲/۵ میکروگرم/میلی‌لیتر)، افزایشی در بیان مشاهده نشد و بیان ژن‌ها همراه با وقوع ناهنجاری‌های مورفولوژیکی و مرگ و میر بیشتر جنین کاهش یافت. این داده‌ها نشان می‌دهد که محدوده دوز مؤثر و اثر دووجهی (هورمتوکیک) عصاره، بین ۰ تا ۱۰۰ میکروگرم/میلی‌لیتر است. آزمایشات نشان داد که دوزهایی که کم در نظر گرفته می‌شوند، ظاهرآ فعالیت تحریکی و مفید دارند، درحالی‌که دوزهای بالا ظاهرآ تحریکی و مفید دارند، درحالی‌که دوزهای بالا ظاهرآ اثر مهاری یا سمی بر رشد قلب دارند. با این حال، در نوزاد گورخرمایی که با دوز ۱۰۰ میکروگرم/میلی‌لیتر، که معادل LD_{50} (حدود ۱۰۱ میکروگرم/میلی‌لیتر) است، دوز داده شده بود، هم سمیت قلبی تأیید نشد و هم بافت‌شناسی هیچ تفاوت معنی‌داری با گروه کنترل

تشکیل یک محیط ضد التهابی و عاری از استرس اکسیداتیو در دیواره رگ بودند (۲۸). اگرچه مدل ما ممکن است متفاوت باشد (یعنی رشد جنینی)، افزایش بیان ژن‌های *Nkx2-5*, *Tbx5* و *ApoE* با عصاره گل گاو زبان ممکن است بخشی از همان پاسخ محافظتی قلبی عروقی مرتبط با فعالیت ترکیبات آنتی اکسیدانی/ضد التهابی باشد. بر عکس، نتایج ما از این واقعیت پشتیبانی می‌کند که عصاره‌های غنی از پلی فنول نه تنها در پیشگیری از بیماری‌های قلبی در بزرگسالان مفید هستند، بلکه می‌توانند نقش مثبتی در مسیرهای رشد قلبی در مراحل جنینی داشته باشند. مطالعه لی و همکاران (۲۹) نشان داد که ترکیبات غیراساسی اسطوخودوس در مدل آلزایمر گورخرماهی باعث بهبود علائم از طریق مسیرهای التهابی و *Echium* متابولیکی شدنند. مطالعه حاضر اثرات عصاره *amoenum* را بر تکامل قلب جنین بررسی کرد. هر دو مطالعه کارایی مدل زیرا را در غربالگری دارویی و نقش دوزمحور ترکیبات طبیعی در بهبود عملکرد اندام‌ها تأیید می‌کنند. عصاره جینکو بیلوبا در دوزهای پایین برای جنین‌های گورخرماهی بی‌خطر بود، اما دوز عصاره مضر بود و منجر به کاهش بقا و رشد شد. دوزهای پایین/متوسط رشد را افزایش می‌دهند، سپس با دوزهای بالا رشد کاهش می‌یابد (۳۰). هم شیائویان و همکارانش و هم مطالعه ما تأیید کردند که اثربخشی و سمیت عصاره‌های گیاهی هر دو به دوز و میلی-گرم/لیتر مواد مؤثر اولیه عصاره‌ها وابسته هستند. در مطالعه حاضر، عصاره‌های غلیظ شده با دوزهای پایین گل گاو زبان، بیان قلبی را افزایش داده و از بافت محافظت کرده‌اند، در الی که غلاظت‌های بالای عصاره اثر معکوس داشتند و باعث آسیب و کاهش بیان ژن شدند. این امر منجر به این نتیجه می‌شود که برای به دست آوردن فواید درمانی یک عصاره گیاهی، باید دوز و میلی‌گرم/لیتر بهینه از مواد مؤثر نیز تعریف شود.

ناشی از استرس اکسیداتیو/التهابی که به طور معمول این ژن‌ها را مهار می‌کنند، ایجاد شود. جدا از خواص آنتی اکسیدانی مستقیم، عصاره *E. amoenum* احتمالاً بر مسیرهای مولکولی که واسطه رشد قلب هستند، تأثیر می‌گذارد. به عنوان مثال، ترکیب پلی‌فنولی رسوراترول با فعال کردن مسیر دفاعی آنتی اکسیدانی *Nrf2* و در عین حال مهار مسیرهای سمعی، از نقص‌های قلبی ناشی از سم در جنین‌های گورخرماهی محافظت می‌کند (۲۷). آنتوسبیانین‌های موجود در گل گاو زبان نیز ممکن است ترکیبات می‌توانند با تحریک فاکتورهای رونویسی تقویت‌کننده بقای سلولی (مانند *Nrf2*) بیان ژن‌های محافظه قلب را افزایش دهند و همزمان مسیرهای مضر مانند فعالیت بیش از حد فاکتورهای التهابی را مهار کنند. نتیجه نهایی این تنظیم دو مرحله‌ای، هم تقویت برنامه ژنتیکی رشد قلب و هم افزایش یکپارچگی ساختاری-عملکردی قلب جنین است. نتایج این مطالعه با مطالعات قبلی در مورد پیامدهای قلبی عروقی عصاره‌های گیاهی غنی از آنتی اکسیدان مطابقت دارد. از دیرباز گل گاو زبان برای بیماری‌های قلبی و اختلالات گردش خون مورد استفاده قرار گرفته است و از آن زمان تاکنون برخی از تحقیقات فراتر از توصیف خواص آن پرداخته‌اند (۲۶). به عنوان مثال، آنتوسبیانین‌های موجود در انواع توت‌ها (مانند زغال‌اخته) از طریق مدل‌های حیوانی و با تعديل بیان ژن‌های دخیل در استرس اکسیداتیو، التهاب و رگ‌زایی، اثرات ضد تصلب شرایین را نشان داده‌اند (۲۸). در موش‌های فاقد ژن *ApoE* مکمل آنتوسبیانین زغال‌اخته توانست بیان صدها ژن را در آئورت تعديل کرده و پیشرفت تصلب شرایین را کند نماید (۲۸). این تغییرات شامل کاهش بیان آنزیم‌های اکسیداتیو (*Aox1*، *Cyp2e1*) و چسبندگی سلولی (مانند *Jam-A*) و افزایش بیان ژن‌های اتصال بین سلولی بود که همگی نشان دهنده

Need for Scalable and Sustainable Frameworks. *Glob Heart*. 2022;17(1):48.

3. Jin J, Boersch M, Nagarajan A, Davey AK, Zunk M. Antioxidant Properties and Reported Ethnomedicinal Use of the Genus Echium (Boraginaceae). *Antioxidants (Basel)*. 2020;9(8):722.

4. Liu C, Huang Y. Chinese Herbal Medicine on Cardiovascular Diseases and the Mechanisms of Action. *Front Pharmacol*. 2016;7:469.

5. Safaeian L, Haghjoo Javanmard S, Ghanadian M, Seifabadi S. Cytoprotective and antioxidant effects of Echium amoenum anthocyanin-rich extract in human endothelial cells (HUVECs). *Avicenna J Phytomed*. 2015;5(2):157-66.

6. Jafari H, Mokaberinejad R, Raeis-Abdollahi E. Echium amoenum from viewpoint of Avicenna: a brief review. *Journal of Contemporary Medical Sciences*. 2018;4(4):187-90.

7. Pena-Martinez EG, Pomales-Matos DA, Rivera-Madera A, Messon-Bird JL, Medina-Feliciano JG, Sanabria-Alberto L, et al. Prioritizing cardiovascular disease-associated variants altering NKX2-5 and TBX5 binding through an integrative computational approach. *J Biol Chem*. 2023;299(12):105423.

8. Colombo S, de Sena-Tomas C, George V, Werdich AA, Kapur S, MacRae CA, et al. Nkx genes establish second heart field cardiomyocyte progenitors at the arterial pole and pattern the venous pole through Isl1 repression. *Development*. 2018;145(3).

9. De Sena-Tomas C, Aleman AG, Ford C, Varshney A, Yao D, Harrington JK, et al. Activation of Nkx2.5 transcriptional program is required for adult myocardial repair. *Nat Commun*. 2022;13(1):2970.

10. Alagarsamy J, Jaeschke A, Hui DY. Apolipoprotein E in Cardiometabolic and Neurological Health and Diseases. *Int J Mol Sci*. 2022;23(17).

11. Islam S, Noorani A, Sun Y, Michikawa M, Zou K. Multi-functional role of apolipoprotein E in neurodegenerative diseases. *Front Aging Neurosci*. 2025;17:1535280.

12. Ismail AB, Balcio glu O, Ozcem B, Ergoren MC. APOE Gene Variation's Impact on

نتیجه‌گیری

عصاره گل گاوزبان در دوزهای کم تا متوسط (۷/۸-۶/۵ میکروگرم/میلی‌لیتر) اثرات مثبتی بر رشد قلبی عروقی جنین‌های گورخرماهی دارد. تعیین توالی رونوشت‌ها نشان داد که تجزیه و تحلیل PCR افزایش قابل توجهی در بیان *Nkx2-5*, *ApoE* و *Tbx5* در گروه‌های تحت درمان در مقایسه با گروه کنترل نشان داد. *Tbx5*, *ApoE* و *Nkx2-5* تنظیم‌کننده‌های رونویسی برای تمایز کاردیومیوسیت‌ها، حفرات قلب و متابولیسم لیپید هستند که نشان می‌دهد این عصاره مسیرهای مولکولی لازم برای رشد قلب را تحریک می‌کند. در دوزهای زیر کشنده، بافت قلب هیچ آسیب ساختاری آشکاری نشان نداد و معماری طبیعی خود را حفظ کرد. اگرچه عصاره گل گاوزبان اثرات مفید و رشدی را در غلظت‌های پایین نشان می‌دهد، اما این رشد احتمالاً در نتیجه استرس اکسیداتیو و اختلال در متابولیسم در دوزهای بالاتر به اوج خود می‌رسد و به چیزی کشنده تبدیل شود. مدل جنین گورخرماهی به دلیل اندازه کوچک، ماهیت شفاف، رشد سریع و توانایی انجام ژنتیکینگ و ارزیابی‌های بافت‌شناسی، مدل بسیار خوبی برای غربال‌گری محصولات طبیعی است.

تشکر و قدردانی

بدین‌وسیله از دانشکده علوم دارویی دانشگاه علوم پزشکی آزاد اسلامی تهران که امکان انجام این پژوهش را فراهم کرده است (کد رهگیری پایان‌نامه: ۱۶۲۸۱۰۷۱۳)، تشکر و قدردانی می‌شود.

منابع

1. World Health Organization. Cardiovascular diseases (CVDs). 2021 [Available from: [https://www.who.int/news-room/fact-sheets/detail/cardiovascular-diseases-\(cvds\)](https://www.who.int/news-room/fact-sheets/detail/cardiovascular-diseases-(cvds))] (Accessed 2 July 2025).
2. Mendis S, Graham I, Narula J. Addressing the Global Burden of Cardiovascular Diseases;

- GATA4, and TBX5 in congenital heart disease: multiple heterozygosity and novel mutations. *Congenit Heart Dis.* 2012;7(2):151-9.
23. Otis JP, Zeituni EM, Thierer JH, Anderson JL, Brown AC, Boehm ED, et al. Zebrafish as a model for apolipoprotein biology: comprehensive expression analysis and a role for ApoA-IV in regulating food intake. *Dis Model Mech.* 2015;8(3):295-309.
24. Li S, Li X, Zhao R, Jiang T, Ou Q, Huang H, et al. Esketamine induces embryonic and cardiac malformation through regulating the nkx2.5 and gata4 in zebrafish. *Sci Rep.* 2025;15(1):7187.
25. Sadighara P, Araghi A, Tajdar-Oranj B, Peivasteh-roudsari L, Mohajer A, Behzadi R. The Effect of Borage (Echium amoenum) on the Mouse Heart and Hematology Parameters. *Cardiovasc Hematol Disord Drug Targets.* 2019;19(2):154-9.
26. Naseri N, Kalantar K, Amirghofran Z. Anti-inflammatory activity of Echium amoenum extract on macrophages mediated by inhibition of inflammatory mediators and cytokines expression. *Res Pharm Sci.* 2018;13(1):73-81.
27. Huang Y, Xia Y, Tao Y, Jin H, Ji C, Aniagu S, et al. Protective effects of resveratrol against the cardiac developmental toxicity of trichloroethylene in zebrafish embryos. *Toxicology.* 2021;452:152697.
28. Mauray A, Felgines C, Morand C, Mazur A, Scalbert A, Milenkovic D. Bilberry anthocyanin-rich extract alters expression of genes related to atherosclerosis development in aorta of apo E-deficient mice. *Nutr Metab Cardiovasc Dis.* 2012;22(1):72-80.
29. Li M, Cao X, Yan H, Wang M, Tashibolati A,
Maiwulanjiang M. Integrating Zebrafish Model to Screen Active Ingredients and Network Pharmacology Methods to Explore the Mechanism of *Lavandula angustifolia* Therapy for Alzheimer's Disease. *ChemistrySelect.* 2022;7(28):e202201364.
30. Xiaoyan L, Li C, Liu T, Ke H, Gong X, Wang Q, et al. Chemical analysis, pharmacological activity and process optimization of the proportion of bilobalide and ginkgolides in *Ginkgo biloba* extract. *J Pharm Biomed Anal.* 2018;160:46-54
- Cardiovascular Health: A Case-Control Study. *Biomedicines.* 2024;12(3):695.
13. Mahley RW. Apolipoprotein E: from cardiovascular disease to neurodegenerative disorders. *J Mol Med (Berl).* 2016;94(7):739-46.
14. Li Y, Du J, Deng S, Liu B, Jing X, Yan Y, et al. The molecular mechanisms of cardiac development and related diseases. *Signal Transduct Target Ther.* 2024;9(1):368.
15. Pezhouman A, Nguyen NB, Sercel AJ, Nguyen TL, Daraei A, Sabri S, et al. Transcriptional, Electrophysiological, and Metabolic Characterizations of hESC-Derived First and Second Heart Fields Demonstrate a Potential Role of TBX5 in Cardiomyocyte Maturation. *Front Cell Dev Biol.* 2021; 9:787684.
16. Siatra P, Vatsellas G, Chatzianastasiou A, Balafas E, Manolakou T, Papapetropoulos A, et al. Return of the Tbx5; lineage-tracing reveals ventricular cardiomyocyte-like precursors in the injured adult mammalian heart. *NPJ Regen Med.* 2023;8(1):13.
17. Garcia-Flores E, Rodriguez-Perez JM, Borgonio-Cuadra VM, Vargas-Alarcon G, Calderon-Colmenero J, Sandoval JP, et al. DNA Methylation Levels of the TBX5 Gene Promoter Are Associated with Congenital Septal Defects in Mexican Paediatric Patients. *Biology (Basel).* 2022;11(1):96.
18. McElhinney DB, Geiger E, Blinder J, Benson DW, Goldmuntz E. NKX2.5 mutations in patients with congenital heart disease. *J Am Coll Cardiol.* 2003;42(9):1650-5.
19. Kimmel CB, Ballard WW, Kimmel SR, Ullmann B, Schilling TF. Stages of embryonic development of the zebrafish. *Dev Dyn.* 1995;203(3):253-310.
20. Westerfield M. *The Zebrafish Book: A Guide for the Laboratory Use of Zebrafish (Danio Rerio)*: University of Oregon Press; 2000.
21. Chahardehi AM, Arsal H, Lim V. Zebrafish as a Successful Animal Model for Screening Toxicity of Medicinal Plants. *Plants (Basel).* 2020;9(10).
22. Granados-Riveron JT, Pope M, Bu'lock FA, Thornborough C, Eason J, Setchfield K, et al. Combined mutation screening of NKX2-5,